# SEZIONE A–A

SCALA 1 : 100

DIREZIONE GA10

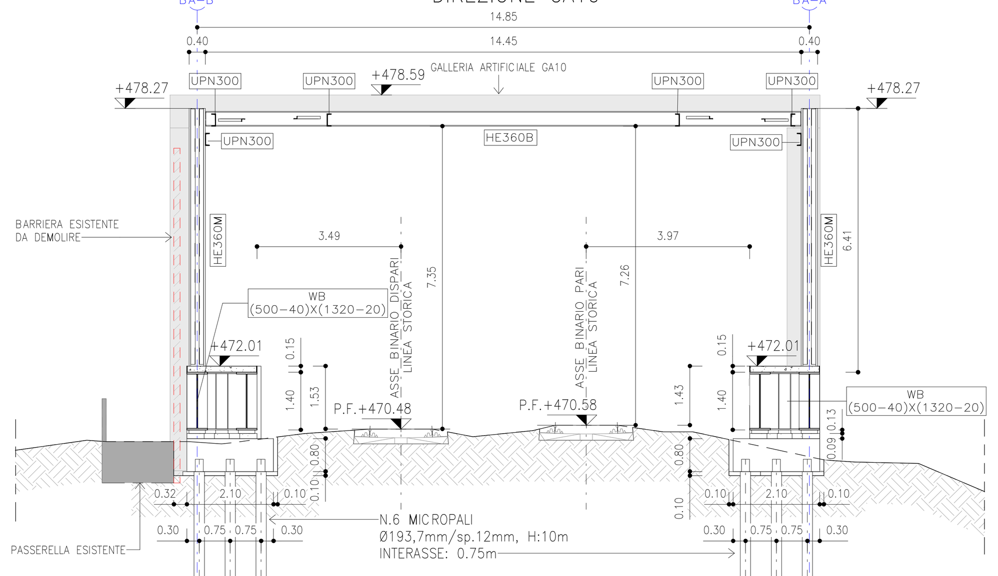


# SEZIONE B–B

SCALA 1 : 100

DIREZIONE STAZIONE

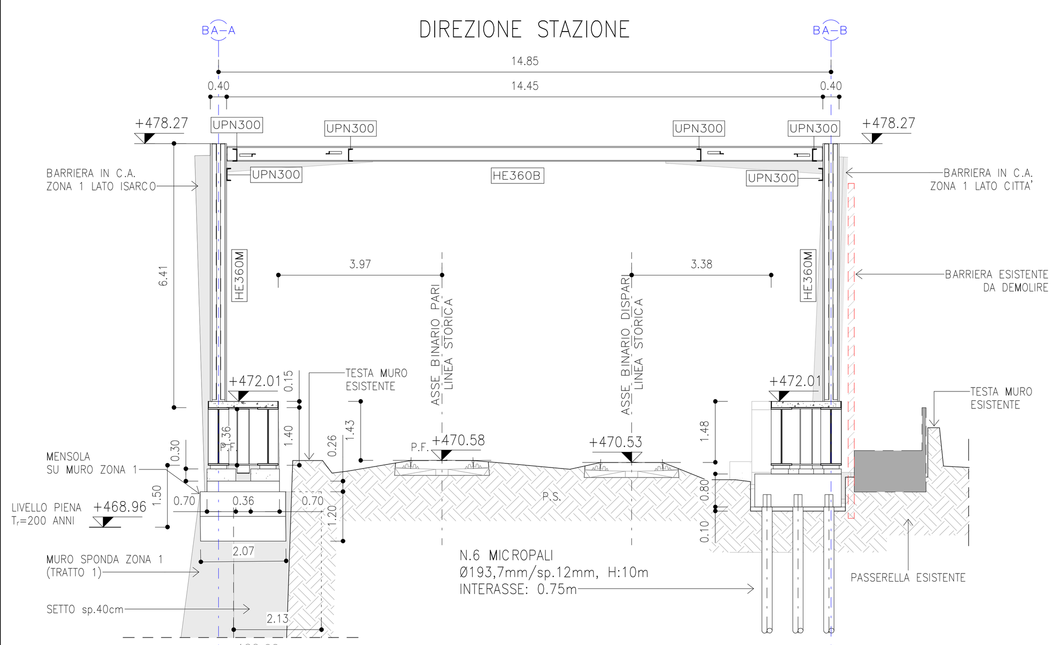


# PROSPETTO LATO ISARCO

SCALA 1 : 100

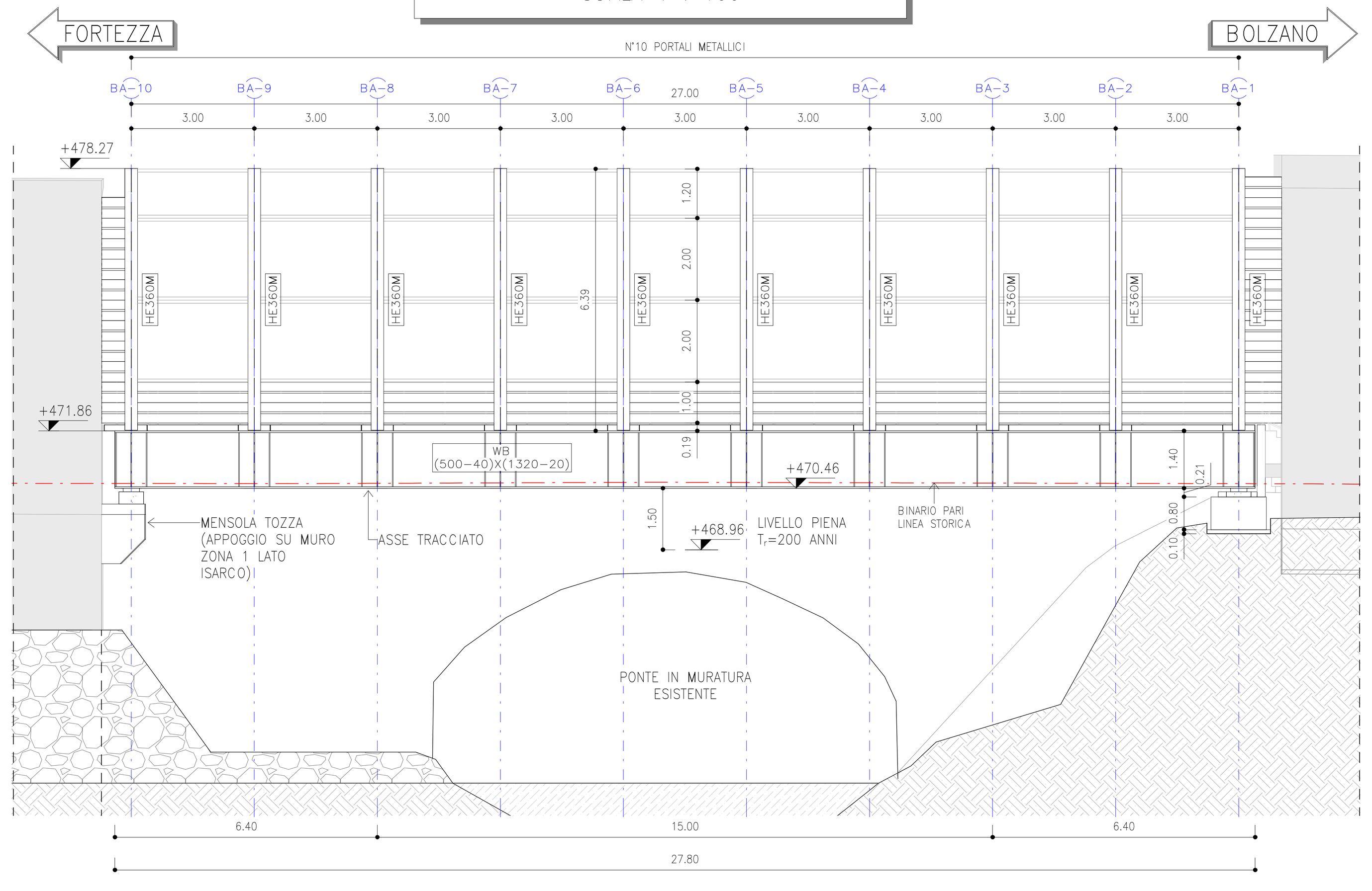


## QUANTITA' FONDAZIONI

| Descrizione | Classe cls | Spessore (m) | Volume (mc) | Incidenza | Area Casseri (mq) |
|---|---|---|---|---|---|
| Basamento 2 | | | | | |
| Basamento laterale | C 28/35 | 0.80 | 2.27 | 80 kg/mc | 5.52 |
| Magrone | C 12/15 | 0.10 | 0.35 | – | 0.00 |
| Basamento 3 | | | | | |
| Basamento laterale | C 28/35 | 0.80 | 2.27 | 80 kg/mc | 5.52 |
| Magrone | C 12/15 | 0.10 | 0.35 | – | 0.00 |
| Basamento 4 | | | | | |
| Basamento laterale | C 28/35 | 0.80 | 2.27 | 80 kg/mc | 5.52 |
| Magrone | C 12/15 | 0.10 | 0.35 | – | 0.00 |

## QUANTITA' FONDAZIONI – Setto paraghiaia

| Descrizione | Classe cls | Spessore (m) | Volume (mc) | Incidenza | Area Casseri (mq) |
|---|---|---|---|---|---|
| Basamento 3 | | | | | |
| Setto paraghiaia | C28/35 | 0.20 | 0.60 | 90 kg/mc | 7 m² |
| Basamento 4 | | | | | |
| Setto paraghiaia | C28/35 | 0.20 | 0.63 | 90 kg/mc | 7 m² |

## TABELLA DI TRACCIAMENTO MICROPALI

| PUNTO | E (m) | N (m) | Q.alt testa palo (m.s.l.m.) |
|---|---|---|---|
| Basamento 2 | | | |
| MP–1 | 14091.46 | 20300.43 | 469.45 |
| MP–2 | 14091.73 | 20301.12 | 469.45 |
| MP–3 | 14092.15 | 20300.15 | 469.45 |
| MP–4 | 14092.43 | 20300.85 | 469.45 |
| MP–5 | 14092.85 | 20299.87 | 469.45 |
| MP–6 | 14093.13 | 20300.57 | 469.45 |
| Basamento 3 | | | |
| MP–1 | 14069.24 | 20280.38 | 469.45 |
| MP–2 | 14069.52 | 20281.08 | 469.45 |
| MP–3 | 14069.94 | 20280.11 | 469.45 |
| MP–4 | 14070.22 | 20280.80 | 469.45 |
| MP–5 | 14070.64 | 20279.83 | 469.45 |
| MP–6 | 14070.91 | 20280.53 | 469.45 |
| Basamento 4 | | | |
| MP–1 | 14081.56 | 20275.49 | 469.45 |
| MP–2 | 14081.83 | 20276.19 | 469.45 |
| MP–3 | 14082.25 | 20275.22 | 469.45 |
| MP–4 | 14082.53 | 20275.91 | 469.45 |
| MP–5 | 14082.95 | 20274.94 | 469.45 |
| MP–6 | 14083.23 | 20275.64 | 469.45 |

## QUANTITA' APPOGGI – BAGGIOLI

| Descrizione | Conteggio | Classe cls | Spessore (m) | Volume (mc) | Incidenza | Area Casseri (mq) |
|---|---|---|---|---|---|---|
| Basamento 1 | 2 | C28/35 | 0.300 | 0.25 | 100 kg/mc | 1.56 |
| Basamento 2 | 1 | C28/35 | 0.125 | 0.14 | 100 kg/mc | 0.79 |
| Basamento 3 | 1 | C28/35 | 0.125 | 0.14 | 100 kg/mc | 0.79 |
| Basamento 4 | 1 | C28/35 | 0.125 | 0.14 | 100 kg/mc | 0.79 |

# PIANTA SCAVI E FONDAZIONI

SCALA 1 : 50

SCAVALCO RIO GARDENA

FONDAZIONI E PILE

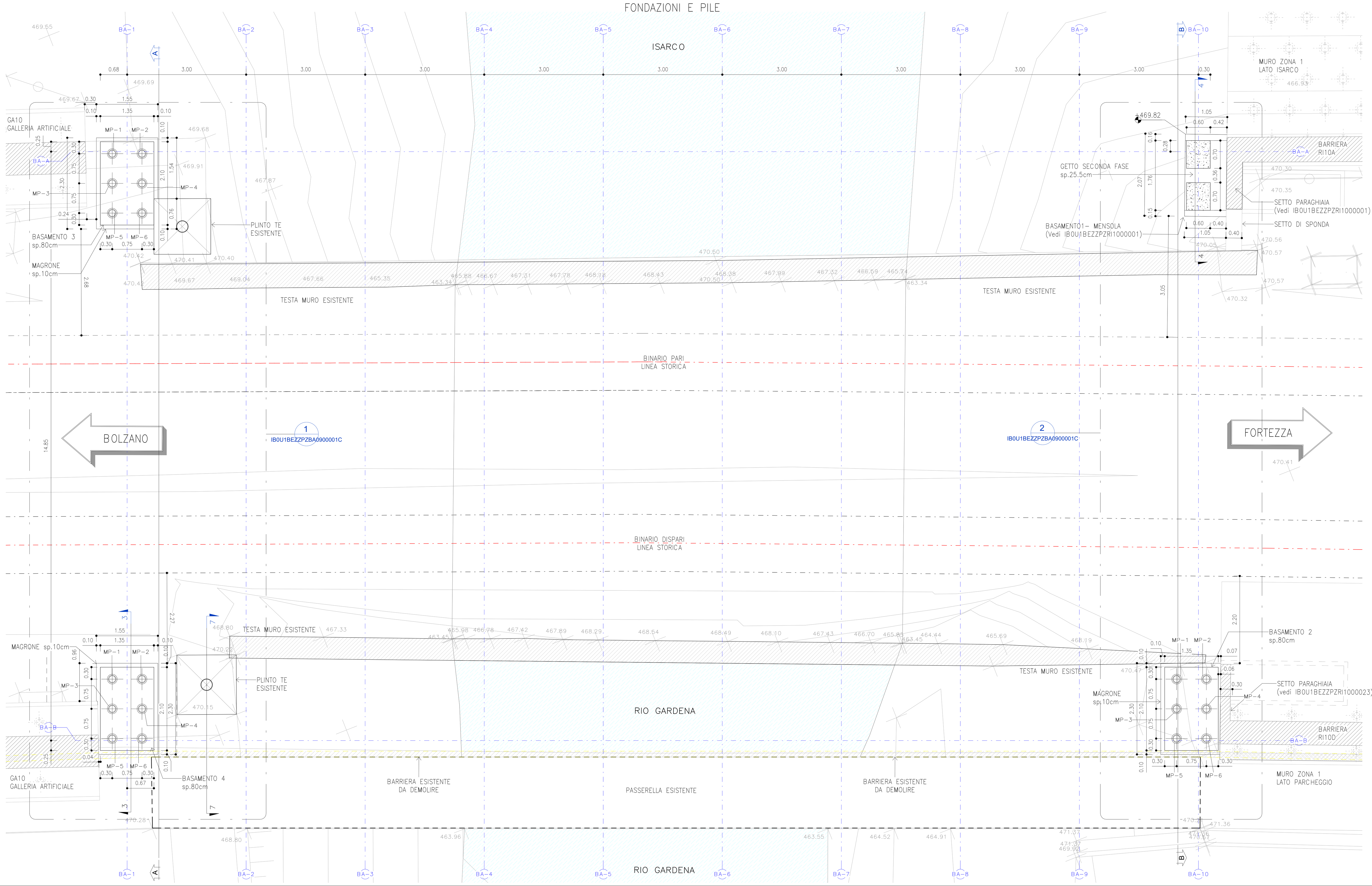


# SCHEMA VINCOLARE

LEGENDA:
- APPOGGIO FISSO "F"
- APPOGGIO UNIDIREZIONALE LONGITUDINALE "UL"
- APPOGGIO MULTIDIREZIONALE "M"

N.8 DISPOSITIVI DI APPOGGIO:
ACCIAIO–TEFLON A DISCO ELASTOMERICO CONFINATO

NOTA: il dettaglio della carpenteria metallica (piastre inferiori e superiori) sarà fornito in fase di direzione lavori, a seguito di indicazioni e dettagli forniti dall'impresa

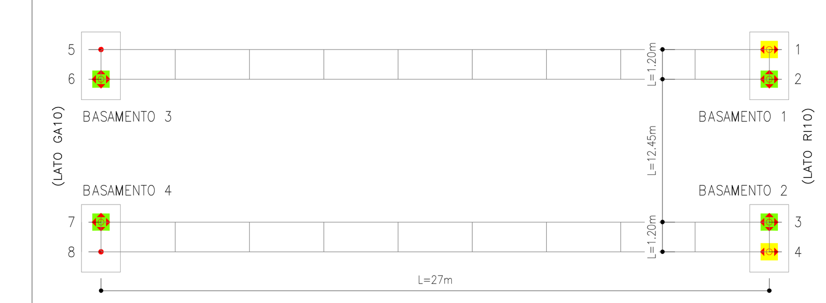


| SPOSTAMENTI | $d_{long}$ [mm] | $d_{trasv}$ [mm] |
|---|---|---|
| APPOGGIO 1 | ±13 | / |
| APPOGGIO 2 | ±13 | ±0.5 |
| APPOGGIO 3 | ±13 | ±0.5 |
| APPOGGIO 4 | ±13 | / |
| APPOGGIO 5 | / | / |
| APPOGGIO 6 | ±5 | ±0.5 |
| APPOGGIO 7 | ±5 | ±0.5 |
| APPOGGIO 8 | / | / |

# DETTAGLIO 3

SCALA 1 : 20

(Le misure riportate sono in mm)

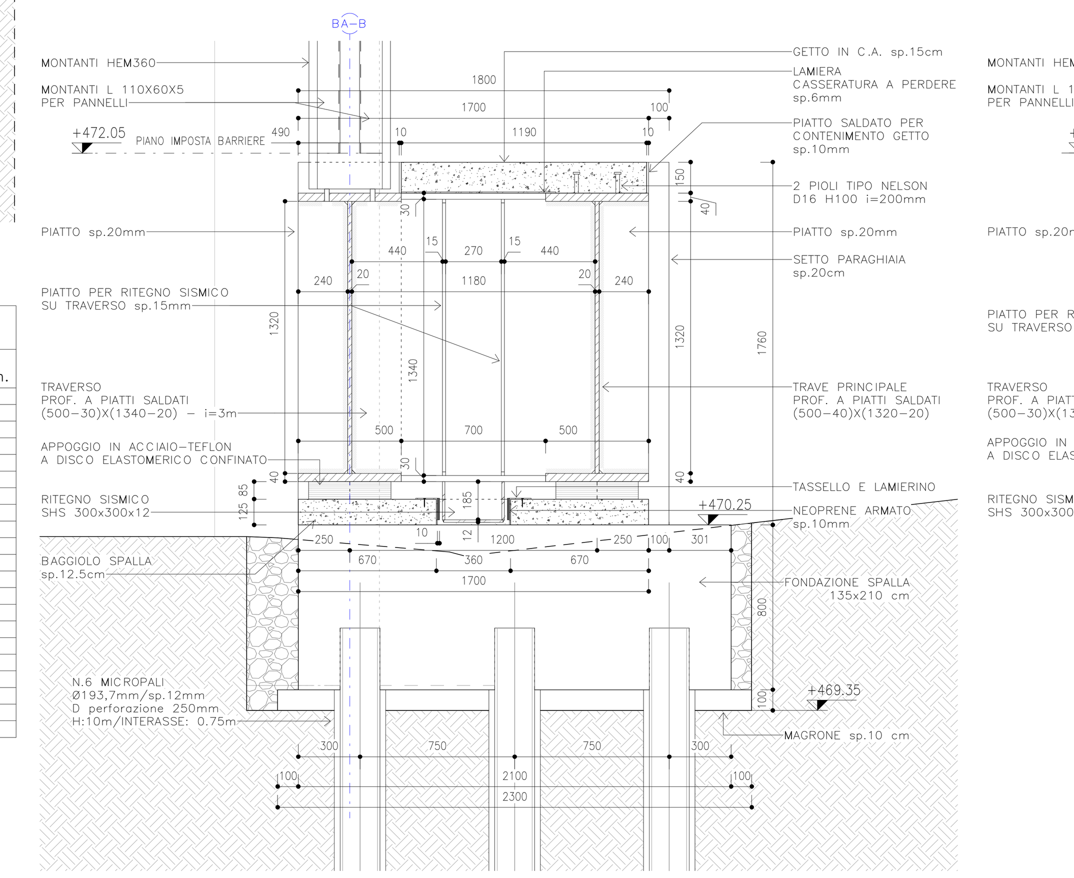


# DETTAGLIO 4

SCALA 1 : 20

(Le misure riportate sono in mm)

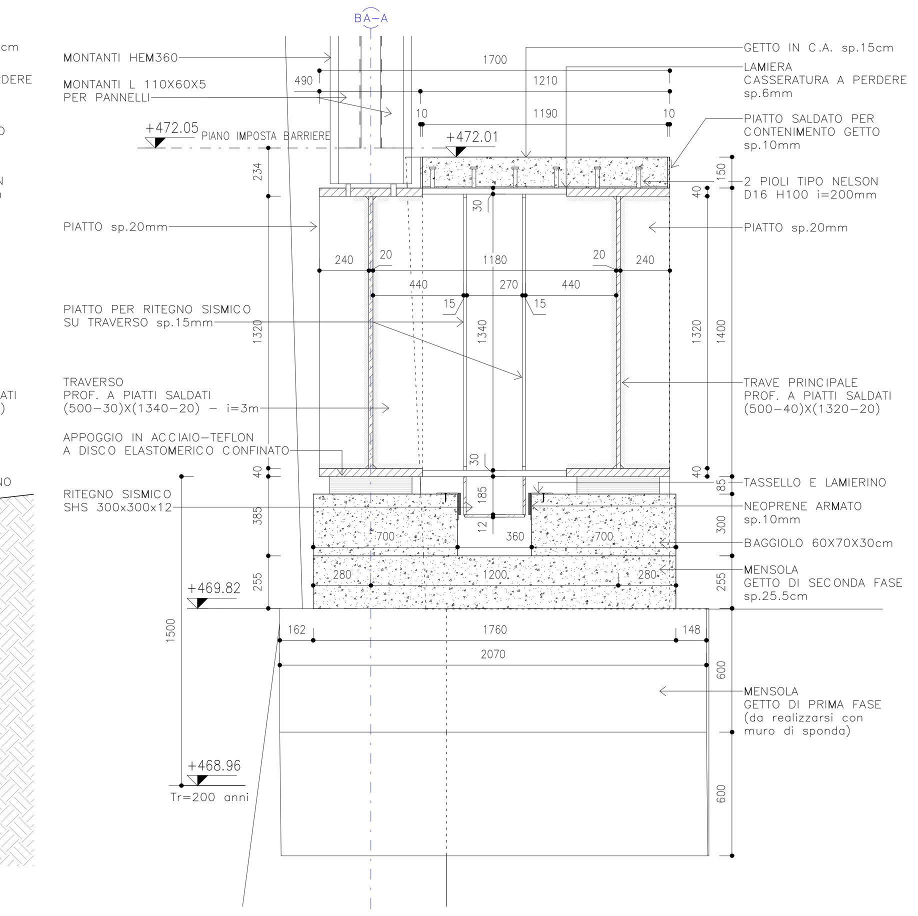


# DETTAGLIO 1 – APPOGGI

SCALA 1 : 50

LATO GA10

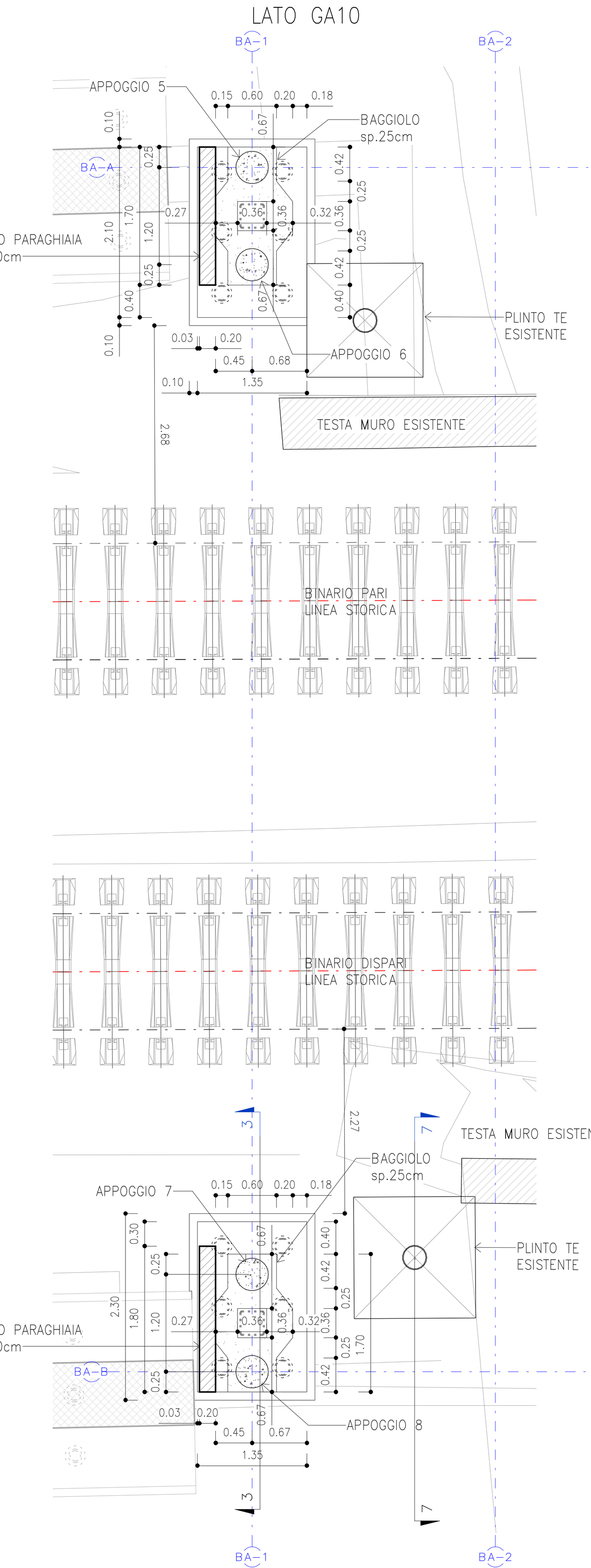


# DETTAGLIO 2 – APPOGGI

SCALA 1 : 50

LATO RI10

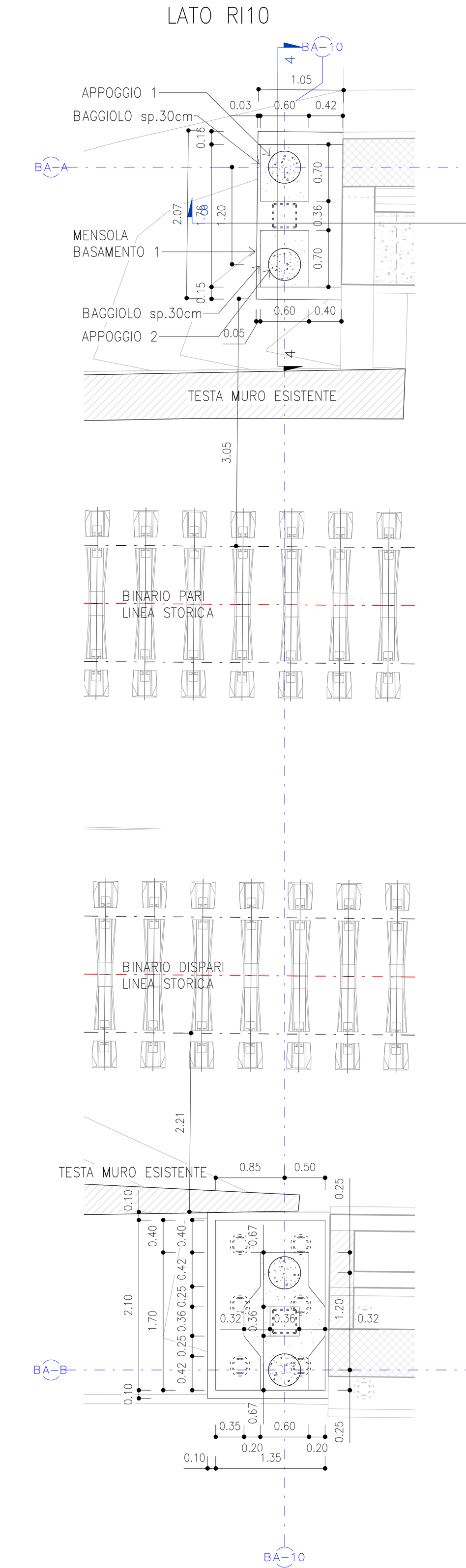


# SOLLECITAZIONI APPOGGI

| APPOGGIO | CONDIZIONE DI CARICO/COMBINAZIONE | Vx (kN) | Vy (kN) | N (kN) |
|---|---|---|---|---|
| APPOGGIO 1 | 1: G00 - Peso Proprio | 0 | 21.8438 | -278.5587 |
| | 2: G01 - Carico Permanente soletta | 0 | 0.1074 | -43.9024 |
| | 3: G02a - Carico Pannelli Fonoassorbenti | 0 | 31.6416 | -232.3795 |
| | 4: G02b - Carico Pannelli Fonoassorbenti DX | 0 | 32.3667 | -233.003 |
| | 5: Q00 - Sovraccarico Accidentale | 0 | 0.8983 | -83.452 |
| | 6: Q01 - Carico Neve | 0 | 53.7215 | -222.6501 |
| | 7: Q02a - Carico Vento Y+ | 0 | 82.1919 | -34.7317 |
| | 8: Q02b - Carico Vento Y- | 0 | -134.5533 | 251.745 |
| | 9: Q03a - Effetti Aerodinamici Convogli Y+ | 0 | 0.5417 | 77.1066 |
| | 10: Q03b - Effetti Aerodinamici Convogli Y- | 0 | -60.3834 | 170.9087 |
| | 11: T00 - DTu = +25°C | 0 | 3.29 | -3.8383 |
| | 12: T01 - DTu = -25°C | 0 | -3.29 | 3.8383 |
| | 536: FASE 1 (G1)-SLE [Combination 524] | 0 | 21.9512 | -322.4611 |
| | 537: FASE 2 (G2)-SLE [Combination 525] | 0 | 31.6416 | -232.3795 |
| | 538: FASE 3 (Qk)-SLE_39 [Combination 526] | 0 | 51.7475 | -220.3471 |
| | 539: FASE 1 (G1)-SLU [Combination 527] | 0 | 29.6341 | -435.3225 |
| | 540: FASE 2 (G2)-SLU [Combination 528] | 0 | 47.4624 | -348.5692 |
| | 541: FASE 3 (Qk)-SLU_39 [Combination 529] | 0 | 77.6213 | -330.5207 |
| | 542: SLV-X [Combination 530] | 0 | 59.1437 | -604.3173 |
| | 543: SLV-Y [Combination 531] | 0 | 172.1644 | -740.1554 |
| | 544: SLU min [Minimum Envelope 1] | 0 | -197.7392 | -1153.5152 |
| | 545: SLU max [Maximum Envelope 2] | 0 | 261.469 | -204.5656 |
| | 546: SLE min [Minimum Envelope 3] | 0 | -131.2412 | -801.2562 |
| | 547: SLE max [Maximum Envelope 4] | 0 | 176.5222 | -164.0656 |
| APPOGGIO 2 | 1: G00 - Peso Proprio | 0 | 0 | -71.6346 |
| | 2: G01 - Carico Permanente soletta | 0 | 0 | -43.6518 |
| | 3: G02a - Carico Pannelli Fonoassorbenti | 0 | 0 | 36.9152 |
| | 4: G02b - Carico Pannelli Fonoassorbenti DX | 0 | 0 | 37.7616 |
| | 5: Q00 - Sovraccarico Accidentale | 0 | 0 | -115.691 |
| | 6: Q01 - Carico Neve | 0 | 0 | 62.6751 |
| | 7: Q02a - Carico Vento Y+ | 0 | 0 | 81.5182 |
| | 8: Q02b - Carico Vento Y- | 0 | 0 | -142.6065 |
| | 9: Q03a - Effetti Aerodinamici Convogli Y+ | 0 | 0 | 0.6323 |
| | 10: Q03b - Effetti Aerodinamici Convogli Y- | 0 | 0 | -70.4476 |
| | 11: T00 - DTu = +25°C | 0 | 0 | 3.8383 |
| | 12: T01 - DTu = -25°C | 0 | 0 | -3.8383 |
| | 536: FASE 1 (G1)-SLE [Combination 524] | 0 | 0 | -115.2864 |
| | 537: FASE 2 (G2)-SLE [Combination 525] | 0 | 0 | 36.9152 |
| | 538: FASE 3 (Qk)-SLE_39 [Combination 526] | 0 | 0 | 60.3721 |
| | 539: FASE 1 (G1)-SLU [Combination 527] | 0 | 0 | -155.6367 |
| | 540: FASE 2 (G2)-SLU [Combination 528] | 0 | 0 | 55.3728 |
| | 541: FASE 3 (Qk)-SLU_39 [Combination 529] | 0 | 0 | 90.5582 |
| | 542: SLV-X [Combination 530] | 0 | 0 | -73.8286 |
| | 543: SLV-Y [Combination 531] | 0 | 0 | 37.0642 |
| | 544: SLU min [Minimum Envelope 1] | 0 | 0 | -405.6007 |
| | 545: SLU max [Maximum Envelope 2] | 0 | 0 | 93.2798 |
| | 546: SLE min [Minimum Envelope 3] | 0 | 0 | -281.9291 |
| | 547: SLE max [Maximum Envelope 4] | 0 | 0 | 50.6748 |
| APPOGGIO 3 | 1: G00 - Peso Proprio | 0 | 0 | -71.6346 |
| | 2: G01 - Carico Permanente soletta | 0 | 0 | -43.6518 |
| | 3: G02a - Carico Pannelli Fonoassorbenti | 0 | 0 | 36.9152 |
| | 4: G02b - Carico Pannelli Fonoassorbenti DX | 0 | 0 | 38.0677 |
| | 5: Q00 - Sovraccarico Accidentale | 0 | 0 | -115.691 |
| | 6: Q01 - Carico Neve | 0 | 0 | 62.6751 |
| | 7: Q02a - Carico Vento Y+ | 0 | 0 | -142.6065 |
| | 8: Q02b - Carico Vento Y- | 0 | 0 | 81.5182 |
| | 9: Q03a - Effetti Aerodinamici Convogli Y+ | 0 | 0 | -70.4476 |
| | 10: Q03b - Effetti Aerodinamici Convogli Y- | 0 | 0 | 0.6323 |
| | 11: T00 - DTu = +25°C | 0 | 0 | 3.8383 |
| | 12: T01 - DTu = -25°C | 0 | 0 | -3.8383 |
| | 536: FASE 1 (G1)-SLE [Combination 524] | 0 | 0 | -115.2864 |
| | 537: FASE 2 (G2)-SLE [Combination 525] | 0 | 0 | 36.9152 |
| | 538: FASE 3 (Qk)-SLE_39 [Combination 526] | 0 | 0 | 60.3721 |
| | 539: FASE 1 (G1)-SLU [Combination 527] | 0 | 0 | -155.6367 |
| | 540: FASE 2 (G2)-SLU [Combination 528] | 0 | 0 | 55.3728 |
| | 541: FASE 3 (Qk)-SLU_39 [Combination 529] | 0 | 0 | 90.5582 |
| | 542: SLV-X [Combination 530] | 0 | 0 | -73.1076 |
| | 543: SLV-Y [Combination 531] | 0 | 0 | -188.0119 |
| | 544: SLU min [Minimum Envelope 1] | 0 | 0 | -402.1462 |
| | 545: SLU max [Maximum Envelope 2] | 0 | 0 | 93.7391 |
| | 546: SLE min [Minimum Envelope 3] | 0 | 0 | -279.6387 |
| | 547: SLE max [Maximum Envelope 4] | 0 | 0 | 50.9809 |
| APPOGGIO 4 | 1: G00 - Peso Proprio | 0 | -21.8438 | -278.5587 |
| | 2: G01 - Carico Permanente soletta | 0 | -0.1074 | -43.9024 |
| | 3: G02a - Carico Pannelli Fonoassorbenti | 0 | -31.6416 | -232.3795 |
| | 4: G02b - Carico Pannelli Fonoassorbenti DX | 0 | -32.6298 | -137.6168 |
| | 5: Q00 - Sovraccarico Accidentale | 0 | -0.8983 | -83.452 |
| | 6: Q01 - Carico Neve | 0 | -53.7215 | -222.6501 |
| | 7: Q02a - Carico Vento Y+ | 0 | 134.5533 | 251.745 |
| | 8: Q02b - Carico Vento Y- | 0 | -82.1919 | -34.7317 |
| | 9: Q03a - Effetti Aerodinamici Convogli Y+ | 0 | 60.3834 | 170.9087 |
| | 10: Q03b - Effetti Aerodinamici Convogli Y- | 0 | -0.5417 | 77.1066 |
| | 11: T00 - DTu = +25°C | 0 | -3.29 | -3.8383 |
| | 12: T01 - DTu = -25°C | 0 | 3.29 | 3.8383 |
| | 536: FASE 1 (G1)-SLE [Combination 524] | 0 | -21.9512 | -322.4611 |
| | 537: FASE 2 (G2)-SLE [Combination 525] | 0 | -31.6416 | -232.3795 |
| | 538: FASE 3 (Qk)-SLE_39 [Combination 526] | 0 | -51.7475 | -220.3471 |
| | 539: FASE 1 (G1)-SLU [Combination 527] | 0 | -29.6341 | -435.3225 |
| | 540: FASE 2 (G2)-SLU [Combination 528] | 0 | -47.4624 | -348.5692 |
| | 541: FASE 3 (Qk)-SLU_39 [Combination 529] | 0 | -77.6213 | -330.5207 |
| | 542: SLV-X [Combination 530] | 0 | -58.6079 | -603.4156 |
| | 543: SLV-Y [Combination 531] | 0 | 55.8506 | -377.2752 |
| | 544: SLU min [Minimum Envelope 1] | 0 | -261.8637 | -1149.1254 |
| | 545: SLU max [Maximum Envelope 2] | 0 | 197.7392 | -62.4216 |
| | 546: SLE min [Minimum Envelope 3] | 0 | -176.7854 | -798.3297 |
| | 547: SLE max [Maximum Envelope 4] | 0 | 131.2412 | -69.303 |
| APPOGGIO 5 | 1: G00 - Peso Proprio | 0 | 21.8438 | -278.5587 |
| | 2: G01 - Carico Permanente soletta | 0 | 0.1074 | -43.9024 |
| | 3: G02a - Carico Pannelli Fonoassorbenti | 0 | 31.6416 | -232.3795 |
| | 4: G02b - Carico Pannelli Fonoassorbenti DX | 0.4736 | 32.6298 | -233.7548 |
| | 5: Q00 - Sovraccarico Accidentale | 0 | 0.8983 | -83.452 |
| | 6: Q01 - Carico Neve | 0 | 53.7215 | -222.6501 |
| | 7: Q02a - Carico Vento Y+ | 1.1462 | 82.8287 | -36.5512 |
| | 8: Q02b - Carico Vento Y- | -1.1462 | -135.1901 | 253.5644 |
| | 9: Q03a - Effetti Aerodinamici Convogli Y+ | 0.3651 | 0.7446 | 76.5271 |
| | 10: Q03b - Effetti Aerodinamici Convogli Y- | -0.3651 | -60.5863 | 171.4883 |
| | 11: T00 - DTu = +25°C | 0 | 3.29 | -3.8383 |
| | 12: T01 - DTu = -25°C | 0 | -3.29 | 3.8383 |
| | 536: FASE 1 (G1)-SLE [Combination 524] | 0 | 21.9512 | -322.4611 |
| | 537: FASE 2 (G2)-SLE [Combination 525] | 0 | 31.6416 | -232.3795 |
| | 538: FASE 3 (Qk)-SLE_39 [Combination 526] | 0 | 51.7475 | -220.3471 |
| | 539: FASE 1 (G1)-SLU [Combination 527] | 0 | 29.6341 | -435.3225 |
| | 540: FASE 2 (G2)-SLU [Combination 528] | 0 | 47.4624 | -348.5692 |
| | 541: FASE 3 (Qk)-SLU_39 [Combination 529] | 0 | 77.6213 | -330.5207 |
| | 542: SLV-X [Combination 530] | -185.1066 | 60.8692 | -521.3641 |
| | 543: SLV-Y [Combination 531] | -14.2815 | 173.841 | -742.7789 |
| | 544: SLU min [Minimum Envelope 1] | -2.1429 | -198.9297 | -1156.2803 |
| | 545: SLU max [Maximum Envelope 2] | 2.8533 | 263.0542 | -201.1642 |
| | 546: SLE min [Minimum Envelope 3] | -1.4383 | -132.0403 | -803.0997 |
| | 547: SLE max [Maximum Envelope 4] | 1.912 | 177.5844 | -161.7825 |
| APPOGGIO 6 | 1: G00 - Peso Proprio | 0 | 0 | -71.6346 |
| | 2: G01 - Carico Permanente soletta | 0 | 0 | -43.6518 |
| | 3: G02a - Carico Pannelli Fonoassorbenti | 0 | 0 | 36.9152 |
| | 4: G02b - Carico Pannelli Fonoassorbenti DX | 0 | 0 | 38.0677 |
| | 5: Q00 - Sovraccarico Accidentale | 0 | 0 | -115.691 |
| | 6: Q01 - Carico Neve | 0 | 0 | 62.6751 |
| | 7: Q02a - Carico Vento Y+ | 0 | 0 | 82.2592 |
| | 8: Q02b - Carico Vento Y- | 0 | 0 | -143.3475 |
| | 9: Q03a - Effetti Aerodinamici Convogli Y+ | 0 | 0 | 0.8684 |
| | 10: Q03b - Effetti Aerodinamici Convogli Y- | 0 | 0 | -70.6837 |
| | 11: T00 - DTu = +25°C | 0 | 0 | 3.8383 |
| | 12: T01 - DTu = -25°C | 0 | 0 | -3.8383 |
| | 536: FASE 1 (G1)-SLE [Combination 524] | 0 | 0 | -115.2864 |
| | 537: FASE 2 (G2)-SLE [Combination 525] | 0 | 0 | 36.9152 |
| | 538: FASE 3 (Qk)-SLE_39 [Combination 526] | 0 | 0 | 60.3721 |
| | 539: FASE 1 (G1)-SLU [Combination 527] | 0 | 0 | -155.6367 |
| | 540: FASE 2 (G2)-SLU [Combination 528] | 0 | 0 | 55.3728 |
| | 541: FASE 3 (Qk)-SLU_39 [Combination 529] | 0 | 0 | 90.5582 |
| | 542: SLV-X [Combination 530] | 0 | 0 | -72.5292 |
| | 543: SLV-Y [Combination 531] | 0 | 0 | 39.3113 |
| | 544: SLU min [Minimum Envelope 1] | 0 | 0 | -406.2676 |
| | 545: SLU max [Maximum Envelope 2] | 0 | 0 | 95.1244 |
| | 546: SLE min [Minimum Envelope 3] | 0 | 0 | -282.3737 |
| | 547: SLE max [Maximum Envelope 4] | 0 | 0 | 51.9108 |
| APPOGGIO 7 | 1: G00 - Peso Proprio | 0 | 0 | -71.6346 |
| | 2: G01 - Carico Permanente soletta | 0 | 0 | -43.6518 |
| | 3: G02a - Carico Pannelli Fonoassorbenti | 0 | 0 | 36.9152 |
| | 4: G02b - Carico Pannelli Fonoassorbenti DX | 0 | 0 | 37.7616 |
| | 5: Q00 - Sovraccarico Accidentale | 0 | 0 | -115.691 |
| | 6: Q01 - Carico Neve | 0 | 0 | 62.6751 |
| | 7: Q02a - Carico Vento Y+ | 0 | 0 | -143.3475 |
| | 8: Q02b - Carico Vento Y- | 0 | 0 | 82.2592 |
| | 9: Q03a - Effetti Aerodinamici Convogli Y+ | 0 | 0 | -70.6837 |
| | 10: Q03b - Effetti Aerodinamici Convogli Y- | 0 | 0 | 0.8684 |
| | 11: T00 - DTu = +25°C | 0 | 0 | 3.8383 |
| | 12: T01 - DTu = -25°C | 0 | 0 | -3.8383 |
| | 536: FASE 1 (G1)-SLE [Combination 524] | 0 | 0 | -115.2864 |
| | 537: FASE 2 (G2)-SLE [Combination 525] | 0 | 0 | 36.9152 |
| | 538: FASE 3 (Qk)-SLE_39 [Combination 526] | 0 | 0 | 60.3721 |
| | 539: FASE 1 (G1)-SLU [Combination 527] | 0 | 0 | -155.6367 |
| | 540: FASE 2 (G2)-SLU [Combination 528] | 0 | 0 | 55.3728 |
| | 541: FASE 3 (Qk)-SLU_39 [Combination 529] | 0 | 0 | 90.5582 |
| | 542: SLV-X [Combination 530] | 0 | 0 | -72.9225 |
| | 543: SLV-Y [Combination 531] | 0 | 0 | -190.2694 |
| | 544: SLU min [Minimum Envelope 1] | 0 | 0 | -402.8131 |
| | 545: SLU max [Maximum Envelope 2] | 0 | 0 | 94.6652 |
| | 546: SLE min [Minimum Envelope 3] | 0 | 0 | -280.5686 |
| | 547: SLE max [Maximum Envelope 4] | 0 | 0 | 51.6046 |
| APPOGGIO 8 | 1: G00 - Peso Proprio | 0 | -21.8438 | -278.5587 |
| | 2: G01 - Carico Permanente soletta | 0 | -0.1074 | -43.9024 |
| | 3: G02a - Carico Pannelli Fonoassorbenti | 0 | -31.6416 | -232.3795 |
| | 4: G02b - Carico Pannelli Fonoassorbenti DX | -0.4736 | -32.3667 | -136.865 |
| | 5: Q00 - Sovraccarico Accidentale | 0 | -0.8983 | -83.452 |
| | 6: Q01 - Carico Neve | 0 | -53.7215 | -222.6501 |
| | 7: Q02a - Carico Vento Y+ | -1.1462 | 135.1901 | 253.5644 |
| | 8: Q02b - Carico Vento Y- | 1.1462 | -82.8287 | -36.5512 |
| | 9: Q03a - Effetti Aerodinamici Convogli Y+ | -0.3651 | 60.5863 | 171.4883 |
| | 10: Q03b - Effetti Aerodinamici Convogli Y- | 0.3651 | -0.7446 | 76.5271 |
| | 11: T00 - DTu = +25°C | 0 | -3.29 | -3.8383 |
| | 12: T01 - DTu = -25°C | 0 | 3.29 | 3.8383 |
| | 536: FASE 1 (G1)-SLE [Combination 524] | 0 | -21.9512 | -322.4611 |
| | 537: FASE 2 (G2)-SLE [Combination 525] | 0 | -31.6416 | -232.3795 |
| | 538: FASE 3 (Qk)-SLE_39 [Combination 526] | 0 | -51.7475 | -220.3471 |
| | 539: FASE 1 (G1)-SLU [Combination 527] | 0 | -29.6341 | -435.3225 |
| | 540: FASE 2 (G2)-SLU [Combination 528] | 0 | -47.4624 | -348.5692 |
| | 541: FASE 3 (Qk)-SLU_39 [Combination 529] | 0 | -77.6213 | -330.5207 |
| | 542: SLV-X [Combination 530] | -169.8942 | -59.8009 | -521.9307 |
| | 543: SLV-Y [Combination 531] | 11.6205 | 57.4785 | -374.1232 |
| | 544: SLU min [Minimum Envelope 1] | -2.8533 | -262.6595 | -1150.7629 |
| | 545: SLU max [Maximum Envelope 2] | 2.1429 | 198.9297 | -57.8925 |
| | 546: SLE min [Minimum Envelope 3] | -1.912 | -177.3213 | -799.4214 |
| | 547: SLE max [Maximum Envelope 4] | 1.4383 | 132.0403 | -66.2681 |

# NOTE

SI RIMANDA ALLA SUCCESSIVA FASE PROGETTUALE IL RILIEVO E DEFINIZIONE DELLA GEOMETRIA E INGOMBRO DELL'IMPALCATO DELLA PASSERELLA ESISTENTE E SUA BARRIERA.

# KEY – PLAN

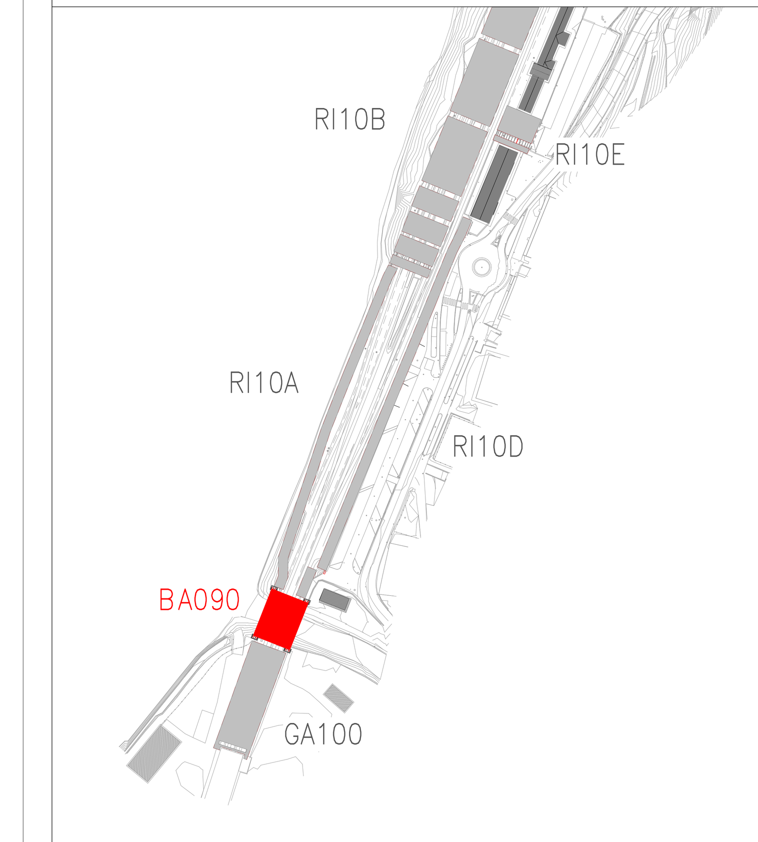


# LEGENDA

P.F.= PIANO DEL FERRO
P.S.= PIANO SCAVO
BINARI RILEVATI
ASSE TRACCIATO
GRIGLIE
SISTEMA PROTEZIONE SCAVO

# MATERIALI

1 – CALCESTRUZZO MAGRO PER SOTTOFONDAZIONE
- Classe: C12/15
- Dimensioni massime degli inerti: < 30 mm
- Rapporto A/C: < 0.65
- Classe di esposizione: X0

2 – CALCESTRUZZO PER STRUTTURE DI FONDAZIONE
- Classe: C25/30
- Dimensioni massime degli inerti: < 32 mm
- Rapporto A/C: < 0.60
- Classe di lavorabilità: S3–S4
- Classe di esposizione: XC2

3 – CALCESTRUZZO PER STRUTTURE IN ELEVAZIONE
- Classe: C32/40
- Dimensioni massime degli inerti: < 25 mm
- Rapporto A/C: < 0.55
- Classe di lavorabilità: S3–S4
- Classe di esposizione: XC3+XF1

4 – ACCIAIO PER BARRE IN C.A.
- Barre e reti elettrosaldate: B450C
- Tensione caratt. di snervamento: $f_{yk} \geq 450N/mm^2$
- Tension caratt. di rottura: $f_{tk} \geq 540N/mm^2$

5 – ACCIAIO PER MICROPALI
- Tipo: S275J (ex FE 430 B)

6 – ACCIAIO (CARPENTERIA METALLICA)
- Classe: S355
- Tens. caratt. di rottura: $f_{tk} \geq 510N/mm^2$
- Tens. caratt. di snervamento: $f_{yk} \geq 355N/mm^2$
- Modulo elastico: $E_s$=210 GPa

7 – BULLONI (CARPENTERIA METALLICA) PRE–SERRATI
- Viti Classe: 10.9
- Dadi Classe: 10
- Tipo: alta resistenza
- Tens. caratt. di rottura: $f_{tb} \geq 1000N/mm^2$
- Tens. caratt. di snervamento: $f_{yb} \geq 800N/mm^2$
- Modulo elastico: $E_s$=210 GPa

8 – VERNICIATURA (CARPENTERIA METALLICA)
- Zincatura a caldo secondo istruzione FS 44/S

Materiali conformi al Capitolato:
OC RFI DTC SI SP IFS 001 D (ed. 20.12.2019)

# PRESCRIZIONI ARMATURE

PRESCRIZIONI RELATIVE ALLE BARRE CORRENTI
Sovrapposizione minima = 50 diametri
Alle estremità risvoltare le barre (90°)

PRESCRIZIONI RELATIVE ALLE STAFFE
La lunghezza del tratto piegato a 135° deve essere > 10 diametri

PRESCRIZIONI PER IL DIAMETRO DI MANDRINO D
Diametro barra <= 16 mm D = 4 diametri
Diametro barra < 16mm D = 7 diametri

# PRESCRIZIONI COPRIFERRO

I ricoprimenti minimi da adottare sono i seguenti (valori riferiti al ferro più esterno)

Fondazione e Muri di sponda 40 mm
Strutture in Elevazione 40 mm

# RIFERIMENTI

CARPENTERIA METALLICA: IB0U1BEZZBBBA0900001
DETTAGLI BARRIERA: IB0U1BEZZBZBA0900001

# INCIDENZE ARMATURE

| | |
|---|---|
| FONDAZIONE SPALLA: | 80kg/mc |
| SETTO PARAGHIAIA SPALLA: | 90kg/mc |
| MENSOLA: | 200kg/mc |
| SOLETTA IMPALCATO | 50kg/mc |

# MICROPALI

N.6x3 Micropali trivellati iniettati (IGU) a bassa pressione
Diametro di perforazione Ø250
armati con tubi metallici Ø193,7mm sp. 12mm
Interasse: 0.75m / Lunghezza: 10m

# SCAVI E DEMOLIZIONI

SCAVI:
Scavo spalle: 10.695m³

# GIUNTI

Giunto per marciapiedi di servizio: 4x1.70m

COMMITTENTE: RFI RETE FERROVIARIA ITALIANA – GRUPPO FERROVIE DELLO STATO ITALIANE

DIREZIONE LAVORI: ITALFERR – GRUPPO FERROVIE DELLO STATO ITALIANE

APPALTATORE: webuild Implenia CONSORZIODOLOMITI

PROGETTAZIONE:
MANDATARIA: SWS
MANDANTI: PINI ITALIA, GDP GEOMIN, SLFEL, SISt

IL DIRETTORE DELLA PROGETTAZIONE:
Ing. Paolo Cucino
Responsabile integrazione fra le varie prestazioni specialistiche

**PROGETTO ESECUTIVO**

**PROGETTAZIONE ESECUTIVA ED ESECUZIONE DEI LAVORI DI REALIZZAZIONE DEL LOTTO 1 DEL QUADRUPLICAMENTO DELLA LINEA FERROVIARIA FORTEZZA - VERONA**
**TRATTA "FORTEZZA – PONTE GARDENA"**

DISEGNO
11 - OPERE CIVILI
C2-INTERVENTI DI INSERIMENTO PAESAGGISTICO INFRASTRUTTURA A PONTE GARDENA
STRUTTURALI - Adeguamento BA su Ponte Rio Gardena
Planimetria fondazioni e carpenterie

APPALTATORE
IL DIRETTORE TECNICO
Ing. Pietro Gianvecchio

SCALA: varie

| COMMESSA | LOTTO | FASE | ENTE | TIPO DOC. | OPERA/DISCIPLINA | PROGR. | REV. |
|---|---|---|---|---|---|---|---|
| IB0U | 1B | E | ZZ | PZ | BA0900 | 001 | C |

| Rev. | Descrizione | Redatto | Data | Verificato | Data | Approvato | Data | Autorizzato Data |
|---|---|---|---|---|---|---|---|---|
| A | Emissione | P. Caliandro | 17/01/2022 | L. Paone | 18/01/2022 | D. Buttafoco (Dolomiti) | 19/01/2022 | IL PROGETTISTA P. Cucino |
| B | Emissione a seguito di indicazioni Committenza | P. Caliandro | 18/07/2022 | L. Paone | 19/07/2022 | D. Buttafoco (Dolomiti) | 20/07/2022 | |
| C | Emissione a seguito interlocuzioni e istruttorie | P. Caliandro | 13/03/2023 | L. Paone | 14/03/2023 | D. Buttafoco (Dolomiti) | 15/03/2023 | 16/03/2023 |

File: IB0U1BEZZPZBA0900001C.dwg
n. Elab.: x